

ΠΡΑΚΤΙΚΑ ΤΗΣ ΑΚΑΔΗΜΙΑΣ ΑΘΗΝΩΝ

ΣΥΝΕΔΡΙΑ ΤΗΣ 6^{ΗΣ} ΙΟΥΝΙΟΥ 2002

ΠΡΟΕΔΡΙΑ ΜΗΤΡΟΠΟΛΙΤΟΥ ΠΕΡΓΑΜΟΥ ΙΩΑΝΝΟΥ (ZHΣΙΟΥΛΑ)

ΠΛΗΡΟΦΟΡΙΚΗ. – Προτεινόμενο ψηφιακό σύστημα πρώιμης ανίχνευσης και ταξινόμησης καρκινικών μικροαποτιτανώσεων του μαστού, ύπό τον Ἀκαδημαϊκού κ. Πάνου Ἀ. Λιγομενίδη και τον Δρ. Γεωργίου Μ. Σπύρου*.

Περίληψη

Τὰ ὑψηλὰ ποσοστὰ ἐμφάνισης ἀνὰ τὸν κόσμο τοῦ καρκίνου τοῦ μαστοῦ καὶ ἡ ἐκτεταμένη θυμότητα λόγῳ μετατάσεων ἔχουν ὁδηγήσει στὴν ἀνάγκη διάγνωσης τῆς ἀσθένειας σὲ πρώιμα στάδια ἥ καὶ προειδοποίησης σὲ προκαρκινικὰ στάδια. Ἡ ἔγκαιρη ιατρικὴ διαγνωστικὴ ἐξέταση καὶ ἡ σωστὴ κατηγοριοποίηση μικροαποτιτανώσεων (μικροασθετώσεων) μπορεῖ νὰ δώσει κρίσμες πληροφορίες σχετικὰ μὲ τὴν ἐμφάνιση κακοήθειας σὲ πρώιμα στάδια ἀνάπτυξης, ἐπιτρέποντας ἔτσι τὴν ἔγκαιρη πρόληψη. Τὸ προτεινόμενο σύστημα ἀνήκει στὸ εἶδος τῶν ψηφιακῶν συστημάτων γιὰ τὴν ὑποστήριξη καὶ τὴν βελτίωση τῆς διαγνωστικῆς διαδικασίας (Computer Aided Diagnosis Systems). Τὸ προτεινόμενο ψηφιακὸ διαγνωστικὸ σύστημα πρώιμης ανίχνευσης καὶ ἀνάλυσης μικροαποτιτανώσεων τοῦ μαστοῦ ἐνισχύει τὴν διαγνωστικὴ διαδικασία προσφέροντας ψηφιακὰ ἐργαλεῖα παρατήρησης καὶ ἐπεξεργασίας τῆς μαστογραφίας, ἐπιτρέποντας τὴν δῆμα-δῆμα ἀξιολόγηση τῆς ἐπικινδυνότητας τῶν ὑπόπτων μικροαποτιτανώσεων, ἀξιοποιώντας τὴν κατὰ περίπτωση ἐμπειρογνωμοσύνη τοῦ χρήστη, καὶ ἐπιτρέποντας τὴν προσμέτρηση καὶ τὸν συμψηφισμὸ σημαντικῶν πληροφοριῶν σχετικὰ μὲ τὴν ἡλικία, τὸ οἰκογενειακὸ ιατρικὸ ἱστορικό, καὶ τυχὸν κλινικὲς ἥ ἐργαστηριακὲς ἐξετάσεις τῆς ἀσθενοῦς. Ἐπὶ πλέον, προσφέρει τὴν δυνατότητα ἡμερολογιακῆς καταγραφῆς καὶ ἀποθήκευσης τῶν σημαδεμένων μαστογραφιῶν, μαζὶ μὲ τὶς ἀντίστοιχες διαγνωστικὲς παρατηρήσεις τοῦ ιατροῦ, γιὰ κάθε μελλοντικὴ ἀνασκόπηση καὶ ιατρικὴ ἐξέταση. Ἀπὸ τὴν ἐργαστηριακὴ ἀξιολόγηση προκύπτει ὅτι τὸ προτεινόμενο σύστημα δύναται νὰ συμβάλῃ οὐσιωδῶς στὴν πρώιμη διάγνωση τοῦ καρκίνου τοῦ μαστοῦ.

* PANOS A. LIGOMENIDES AND GEORGE M. SPYROU, A suggested digital system for computer aided early detection and classification of breast cancer microcalcifications.

1. Εισαγωγή

Ο καρκίνος του μαστού αποτελεῖ τὴν συνηθέστερη μορφή καρκίνου στὸν γυναικεῖο πληθυσμό. Στὶς Η.Π.Α. 1 στὶς 9 γυναῖκες θὰ ἀναπτύξουν καρκίνο του μαστοῦ κατὰ τὴ διάρκεια τῆς ζωῆς τους ἐνῶ στὴν Εὐρώπη τὸ ποσοστὸ εἶναι ἐλαφρὰ χαμηλότερο. Η συχνὴ «ψηλάφηση» του μαστοῦ καὶ ἡ τακτικὴ ιατρικὴ διαγνωστικὴ ἔξεταση συνιστῶνται γιὰ γυναῖκες ἀνω τῶν 30 ἑτῶν, ὡς μέσα γιὰ τὴν προληπτικὴ ἀνίχνευση καρκινικῶν ἀνωμαλιῶν. Τὰ μέσα διάγνωσης τῆς νόσου σὲ πρώιμο στάδιο ἔγκαιρης διάγνωσης μὲ ὑψηλὴ πιθανότητα πλήρους οἰασμοῦ, εἶναι πολὺ περιορισμένα [1-3].

Η ἔγκαιρη ιατρικὴ διαγνωστικὴ ἔξεταση καὶ ἡ σωστὴ κατηγοριοποίηση μικρο-αποτιτανώσεων, δηλαδὴ τῶν ψηγμάτων μικροασθετώσεων ὡς ἐπὶ τὸ πλεῖστον μεγέθους λιγότερο τοῦ ἐνὸς χιλιοστοῦ, οἱ δόποιες ἀναπτύσσονται στὴν φυσιολογία του μαστοῦ συνήθως κατὰ ὄμαδες, μπορεῖ νὰ δώσει κρίσμες πληροφορίες σχετικὰ μὲ τὴν ἐμφάνιση κακοήθειας σὲ πρώιμα στάδια ἀνάπτυξης, ἐπιτρέποντας ἔτσι τὴν ἔγκαιρη πρόληψη.

Η ἀπευθείας δόπτικὴ ἔξεταση τῆς μαστογραφικῆς ἀπεικόνισης γιὰ τὸν ἐντοπισμὸ καὶ τὴν ταξινόμηση μικροασθετώσεων, παρεμποδίζεται ἀπὸ τὴν παρουσία τοῦ ίστολογικοῦ φόντου, ἀπὸ ἀτέλειες καὶ ἀναπόφευκτες ἀντιθέσεις φωτεινότητας στὴ φωτογράφηση καὶ ἐμφάνιση τῆς ἑκάστοτε μαστογραφικῆς ἀπεικόνισης, καὶ ἀπὸ τὴν συνήθως ἀνεπαρκὴ διακριτικὴ ικανότητα τῶν μέσων τῆς ἀπευθείας δόπτικῆς ἔξετασης ἀπὸ τὸν ιατρό. Γιὰ τὴν ὑποστήριξη καὶ τὴν θελίωση τῆς διαγνωστικῆς διαδικασίας, ἀναπτύσσονται καὶ παρέχονται ψηφιακὰ (computer based) ἐργαλεῖα καὶ μέθοδοι ἀνάλυσης καὶ διαγνωστικῆς κατηγοριοποίησης τῶν μαστογραφικῶν ἀπεικονίσεων [4-6]. Τὸ προτεινόμενο σύστημα ἀνήκει σὲ αὐτὸ τὸ εἶδος τῶν διαγνωστικῶν συστημάτων (Computer Aided Diagnosis Systems). Στὸ ὑπόλοιπο αὐτῆς τῆς παρουσίασης θὰ ἀναφερθοῦμε στὰ χαρακτηριστικὰ καὶ τὴν ἀξιολόγηση τοῦ προτεινόμενου διαγνωστικοῦ συστήματος.

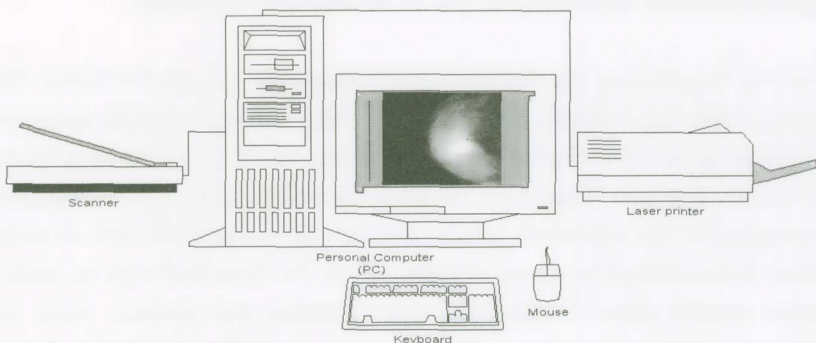
2. Γενικὰ χαρακτηριστικὰ τοῦ διαγνωστικοῦ συστήματος «Ιπποκράτης-μστ»

Τὸ προτεινόμενο ψηφιακὸ διαγνωστικὸ σύστημα πρώιμης ἀνίχνευσης καὶ ἀνάλυσης μικροαποτιτανώσεων τοῦ μαστοῦ, μὲ τὴν ὀνομασία «Ιπποκράτης-μστ», ἀποσκοπεῖ στὴν θελτιωμένη πληθυσμιακὴ διαγνωστικὴ παρακολούθηση (monitoring) τῶν γυναικῶν. Ενισχύει τὴν διαγνωστικὴ διαδικασία προσφέροντας ψηφιακὰ ἐργαλεῖα παρατήρησης καὶ ἐπεξεργασίας τῆς μαστογραφίας, καὶ ἐπιτρέπει τὴν θῆμα-θῆμα ἀξιολόγηση τῆς ἐπικινδυνότητας τῶν ὑπόπτων μικροαποτιτανώσεων. Ιδιαιτέ-

ρως σημαντική είναι ή παρεχόμενη δυνατότητα άξιοποίησης της τυχὸν ἐμπειρογνωμοσύνης, στὴν ἔκταση ποὺ ὑπάρχει, τοῦ χρήστη, ὃδιαιτέρως σχετικὰ μὲ τὴν τοποθεσία καὶ τὴν κατεύθυνση τῆς ὁμάδας τῶν ὑπόπτων μικροαποτιτανώσεων. Ἐπιτρέπει, ἐπίσης, τὴν προσμέτρηση καὶ τὸν συμψηφισμὸν σημαντικῶν πληροφοριῶν σχετικὰ μὲ τὴν ἡλικία, τὸ οἰκογενειακὸ ἰατρικὸ ἴστορικὸ τῆς ἀσθενοῦς, καὶ τυχὸν κλινικὲς ἢ ἐργαστηριακὲς ἔξετάσεις τῆς ἀσθενοῦς. Προσφέρει τὴ δυνατότητα ἡμερολογιακῆς καταγραφῆς καὶ ἀποθήκευσης τῶν σημαδεμένων μαστογραφιῶν, μαζὶ μὲ τὶς διαγνωστικὲς παρατηρήσεις τοῦ ἰατροῦ, ἔτσι ὥστε, σὲ κάθε διαγνωστικὴ ἔξεταση, νὰ δύναται ὁ ἔξεταστης-ἰατρὸς νὰ ἀνατρέξει στὶς προηγούμενες διαγνωστικὲς ἔξετάσεις, νὰ διδηγηθεῖ στὴν ἀναζήτηση ὑπόπτων περιοχῶν τοῦ μαστοῦ καὶ νὰ συνυπολογίσει τὰ χρονικὰ ἀναπτυσσόμενα εύρήματα. Ὁλόκληρο τὸ διαγνωστικὸ ἀρχεῖο τῶν προηγούμενων ἔξετάσεων τῆς ἀσθενοῦς ἐγγράφεται σὲ ὀπτικὸ δίσκο (CD) καὶ παραδίδεται στὴν ἑκάστοτε ἔξεταζόμενη γυναίκα γιὰ μελλοντικὴ χρήση.

3. Ἡ ὑλικὴ ὑποδομὴ τοῦ Ἰπποκράτη-μστ

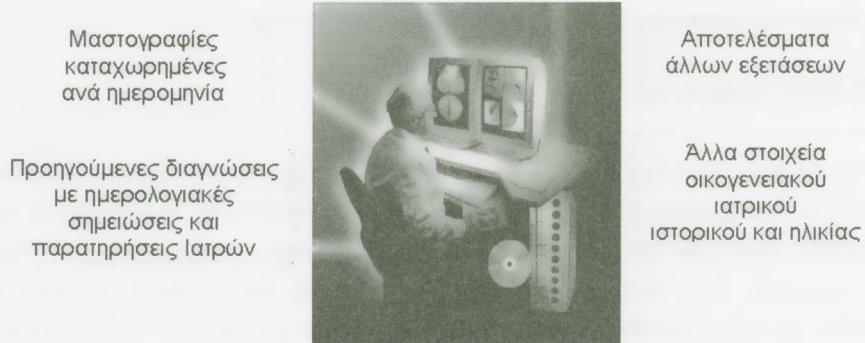
Ο σταθμὸς ἐργασίας τοῦ συστήματος «Ἰπποκράτης-μστ» (Εἰκόνα 1) ἀποτελεῖται ἀπὸ ἕνα συμβατικὸ σύγχρονο ὑπολογιστὴ καὶ ἔκτυπωτή, συνοδευόμενα ἀπὸ ἕναν καλῆς ποιότητας ψηφιοποιητὴ (scanner) μαστογραφιῶν ἀπεικονίσεων. Ὅπως εἶναι προφανές, ἔνας τέτοιος ἐπιτραπέζιος ἢ φορητὸς διαγνωστικὸς σταθμὸς θὰ μποροῦσε νὰ ἐγκατασταθεῖ μὲ εὐκολία καὶ μὲ σχετικὰ χαμηλὸ κόστος σὲ ὅποιοδήποτε ἰατρεῖο, κλινική, νοσοκομεῖο ἢ περιφερειακὸ ἰατρικὸ κέντρο.



Εἰκόνα 1. Σταθμὸς ἐργασίας «Ἰπποκράτη-μστ».

4. Ήμερολογιακή άρχειοθέτηση και παρακολούθηση της άσθενούς

Μέσω κατάλληλης ψηφιακής άρχειοθέτησης στὸν υπολογιστή τοῦ διαγνωστικοῦ κέντρου και στὸν φορητὸ δίσκο (CD), ἡ άσθενής μπορεῖ νὰ ἔχει δόλοκληρο τὸ διαγνωστικὸ ίστορικὸ τῆς εὔκολα διαθέσιμο σὲ κάθε νέα ἐξέταση (Εἰκόνα 2, Εἰκόνα 3). Στὸ διαγνωστικὸ άρχειο τῆς άσθενούς ὁ ιατρὸς ἔχει στὴν ἀμεση διάθεσή του καταχωρημένες ἀνὰ ημερομηνία ἐξέτασης, ὅλες τὶς προηγούμενες μαστογραφίες τῆς άσθενούς. Εἶναι σὲ θέση νὰ ἐνημερωθεῖ γιὰ τὶς διαγνωστικὲς σημειώσεις, ἐπισημάνσεις και μαρκαρίσματα πάνω στὶς εἰκόνες τῶν προηγούμενων ιατρῶν, ἔτσι ὥστε νὰ δύναται νὰ συνυπολογίσει τὶς προηγούμενες διαγνωστικὲς πληροφορίες μὲ τὴν δική του διάγνωση.



Εἰκόνα 2.

5. Ψηφιακὰ ἐργαλεῖα παραπήρησης γιὰ τὴ διευκόλυνση τοῦ ιατροῦ

Γιὰ τὴν διευκόλυνση τῆς διαγνωστικῆς διαδικασίας και τὴν διελτίωση τῆς διαγνωστικῆς ἀπόδοσης, ὁ ιατρὸς δύναται νὰ ἐξετάσει τὴν μαστογραφία χρησιμοποιώντας ψηφιακὰ ἐργαλεῖα ἐπεξεργασίας και ἀνάλυσης, τὰ δόποια τοῦ παρέχει τὸ σύστημα τοῦ Ίπποκράτη-μστ (Εἰκόνα 4). Τὰ ἐργαλεῖα ἐπεξεργασίας τῆς εἰκόνας, μὲ πρωταγωνιστικὸ ρόλο τὸν «ψηφιακὸ φακό», μποροῦν νὰ ἐφαρμοστοῦν εἴτε σὲ δόλοκληρη τὴν εἰκόνα ἢ σὲ ἐπιλεγμένη περιοχὴ ἐνδιαφέροντος. Τὰ ἄλλα διαθέσιμα ἐργαλεῖα περιλαμβάνουν συνήθη μέσα ἐπεξεργασίας και χειρισμοῦ τῆς εἰκόνας, ὅπως εἶναι ἡ ίσοστάθμιση τοῦ ίστοργάμματος, ἡ ἐξομάλυνση και ἀνάδειξη τῶν ἀκμῶν, ἡ μεγέθυνση τῆς εἰκόνας και ἡ ἀλλαγὴ τῆς φωτεινότητας και τῆς διπτικῆς ἀντίθεσης. Σὲ αὐτὰ

Direct Preview of the Selected Image

Patient's File

Identification Data

| | | |
|--|---|--|
| Surname: <input type="text" value="ειρήνη"/> | Name: <input text"="" type="text" value="Μαρία"/> | ID Card: <input type="text" value="Η/Σ 3456"/> |
|--|---|--|

Communication Data

| | | |
|--|---------------------------------|--------------------------------|
| Street: <input type="text" value="7K"/> | Number: <input type="text"/> | Zip Code: <input type="text"/> |
| State: <input type="text" value="Πατρώς"/> | Telephone: <input type="text"/> | |

Family Status

| |
|---|
| Sex: <input type="radio"/> ♂ <input checked="" type="radio"/> ♀ |
|---|

Extra Information

| | |
|--|---|
| Birth Day: <input type="text" value="23.12.1942"/> <input type="button" value="▼"/> <input type="button" value="►"/> | Height (cm): <input type="text" value="180"/> <input type="button" value="▼"/> <input type="button" value="►"/> |
| Employment: <input type="text" value="Teacher"/> | Weight(kgr): <input type="text" value="80"/> <input type="button" value="▼"/> <input type="button" value="►"/> |

History

Her mother had Ducts in the left breast when she was 58 year.

Age at menarche Number of previous breast biopsies

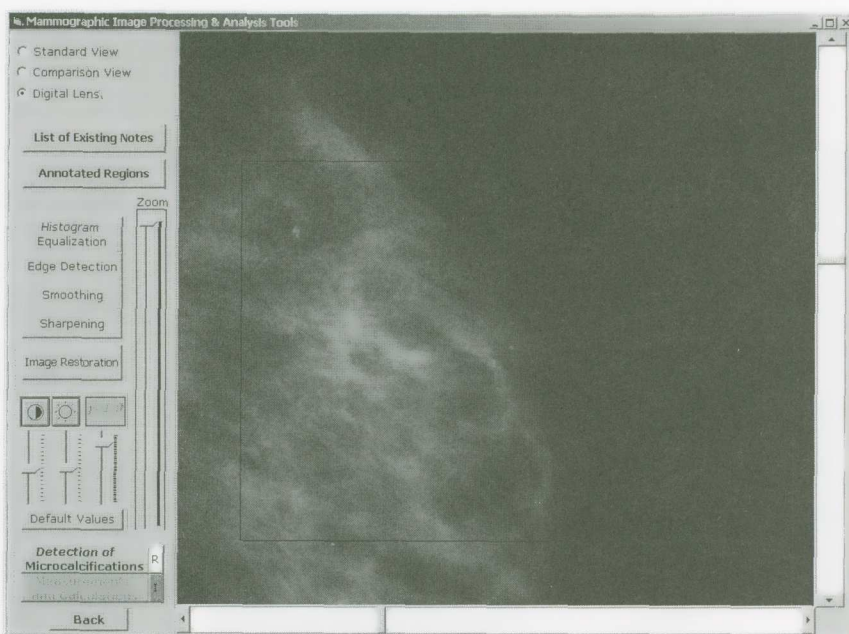
Age at first live birth Number of first-degree relatives

(mother or sisters) with breast cancer

Select a Date of Mammographic Examination

| | | | |
|------------|----------|----------------|------|
| Correction | New Scan | Image Analysis | Back |
|------------|----------|----------------|------|

Εικόνα 3.

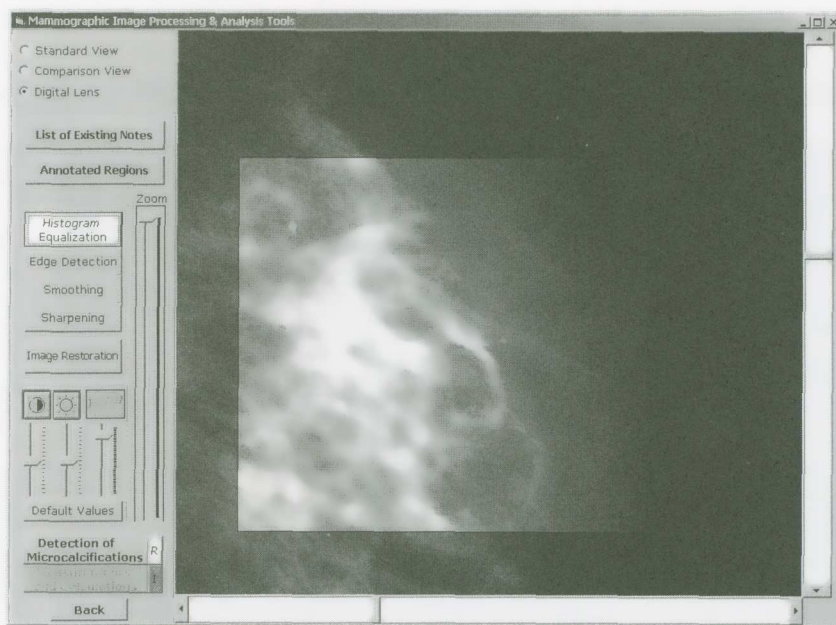


Εικόνα 4.

προστίθενται και ειδικά λογισμικά έργαλεια έντοπισμού και άνάδειξης των μικροασθεστώσεων. Ο έντοπισμός και ή άνάδειξη των μικροασθεστώσεων γίνεται μέσω ένός άλγορίθμου βασισμένου σε τρεις έπεξεργασίες των δεδομένων της είκόνας: (α) την έφαρμογή Υψίσυχου Φίλτρου (High-Pass Filtering), (β) την Κανονικοποίηση των Διακυμάνσεων (Variance Normalization), και (γ) την έφαρμογή Προσαρμοστικού Φίλτρου (Adaptive Filtering). Παρόμοιες τεχνικές άνάδειξης έχουν έφαρμοστεί με έπιτυχία στην έπεξεργασία ιατρικών, άλλα και άστρονομικών άπεικονίσεων [7, 8].

Μέ τα έργαλεια αύτα ένδυναμώνεται ή διπλή έξέταση περιοχῶν της μαστογραφίας που είναι ιδιαίτερα φωτεινές, ή ιδιαίτερα σκοτεινές, όπως συμβαίνει στὴν περιφέρεια τοῦ μαστοῦ (Εικόνα 5).

Κάνοντας χρήση τοῦ «Ψηφιακοῦ φακοῦ» ὁ ιατρὸς ἐπιλέγει μιὰ δρθογώνια περιοχὴ τῆς μαστογραφίας, ή δύοια παρουσιάζει ιδιαίτερο ένδιαφέρον. Χρησιμοποιώντας τὰ έργαλεια έντοπισμοῦ και άνάδειξης των μικροαποτιτανώσεων, ἐπιτυγχάνει έκτενέστερο και λεπτομερέστερο ἔλεγχο και άξιολόγηση τῆς ὑποπτῆς περιοχῆς (Εικόνα 6).



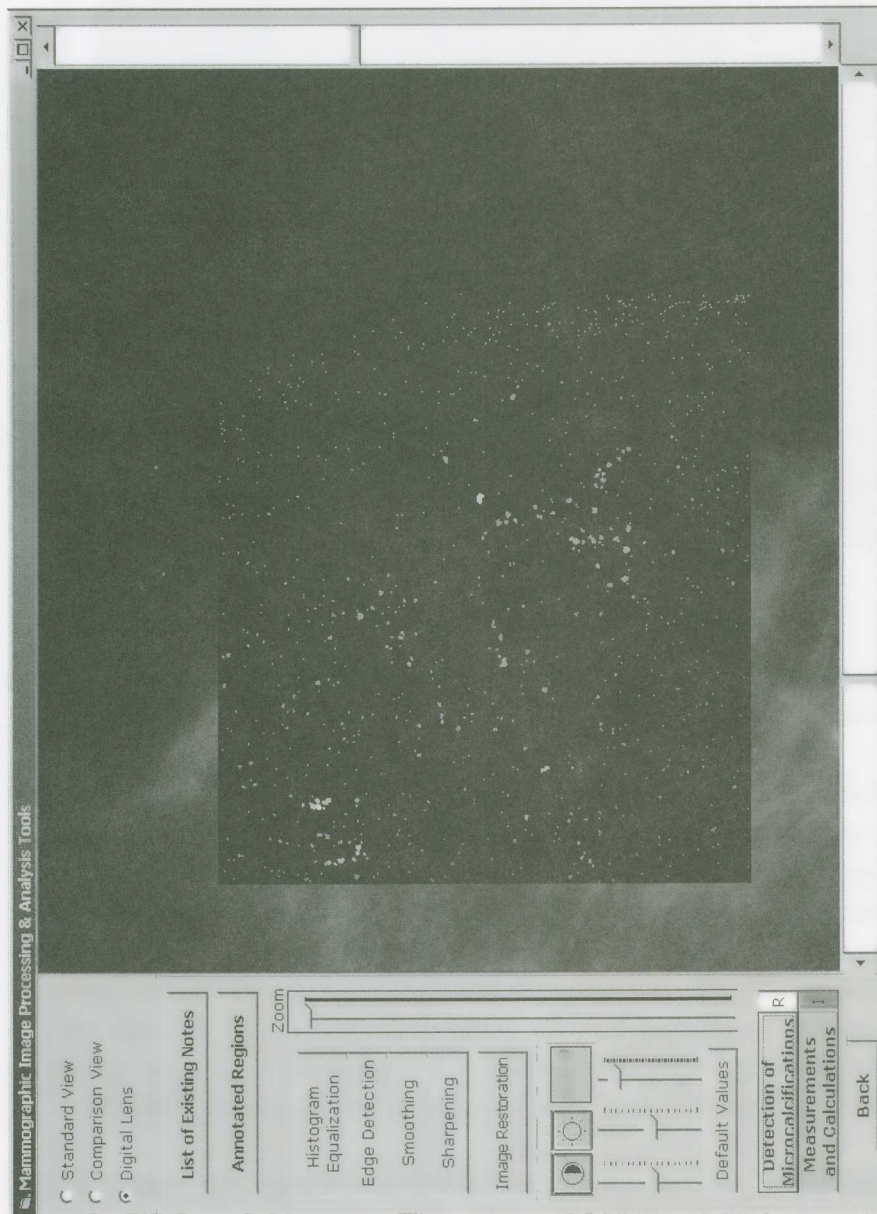
Εικόνα 5.

6. Συγχριτική έποπτεία και έξέταση της έπεξεργασμένης και της άνεπεξέργαστης εικόνας

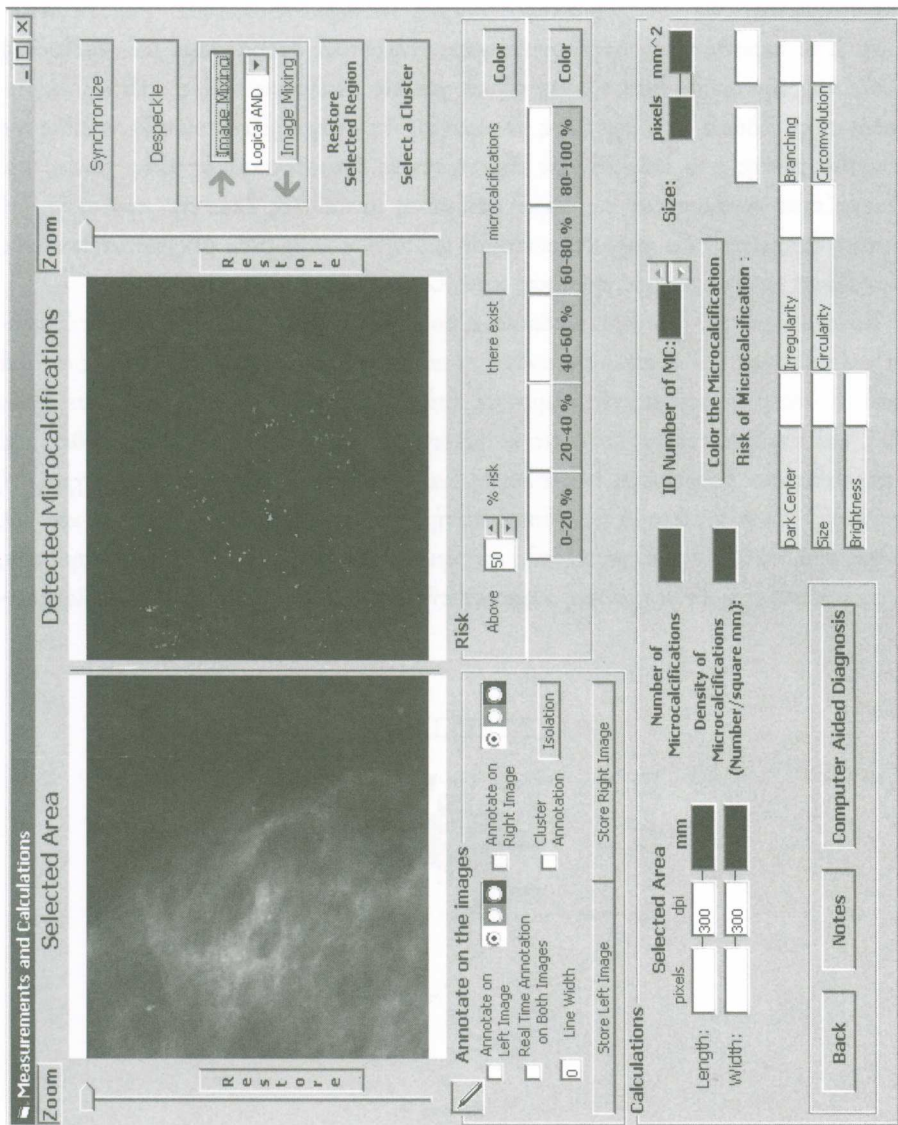
Μετά από την έπεξεργασία και την άναδειξη των μικροαποτιτανώσεων της ένδεδειγμένης περιοχής, ό iατρος έξετάζει την έπεξεργασμένη εικόνα με τις άναδεδειγμένες μικροασθεστώσεις δίπλα-δίπλα με την άνεπεξέργαστη εικόνα, έχοντας στήν έποπτεία του την πλήρη τοπολογική άντιστοίχηση. Αύτη ή άντιστοίχηση διατρέπεται άκομα και όταν ό iατρος μεγεθύνει όποιαδήποτε από τις δύο εικόνες, όπως έπιδεικνύεται στήν Εικόνα 7. Στήν ίδια εικόνα φαίνεται ή δυνατότητα απάλεψης των άπομονωμένων στιγμάτων από την έπεξεργασμένη εικόνα με τις άναδεδειγμένες μικροασθεστώσεις, καθώς και ή δυνατότητα άπεικόνισής τους στήν πραγματική χρωματική κλίμακα του γκρί, όπως έμφανίζονται στήν άρχική μαστογραφία.

7. Υπολογισμός και έκτιμηση της «έπικινδυνότητας» κάθε μιας μικροαποτιτάνωσης

Στή συνέχεια, ό γρήστης δύναται νά έπιλέξει μιά όρθιογώνια περιοχή μέσα στό παράθυρο των άναδεδειγμένων μικροασθεστώσεων και νά ζητήσει άνάλυση και έκτι-



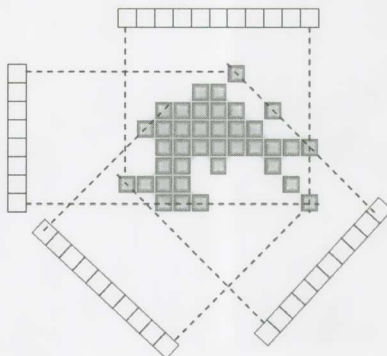
Εικόνα 6.



Εικόνα 7.

μηση τῆς «έπικινδυνότητας» ἐκάστης μικροαποτιτάνωσης ἐντὸς τοῦ πλαισίου διερεύνησης, μὲ βάση τὴν κριτικὴν ἀξιολόγηση τῶν ἔξης ἐπτὰ συγκεκριμένων ἴδιοτήτων¹ ποὺ χαρακτηρίζουν ὑποπτες καρκινικές μικροασθετώσεις: (i) Μέγεθος, (ii) Κυκλικότητα, (iii) Ὑπαρξη Ὑπόπυκνου Κέντρου, (iv) Ἐπίπεδο Φωτεινότητας, (v) Ἀνωμαλία σχήματος, (vi) Ὑπαρξη ἀποφύσεων καὶ διακλαδώσεων, (vii) Ὑπαρξη περιελίξεων. Στὰ περισσότερα μορφολογικὰ χαρακτηριστικὰ ἐφαρμόσαμε μὰ «μέθοδο 4 προβολῶν», τὴν ὁποία ἀναπτύξαμε εἰδικὰ γιὰ τὶς ἀναλύσεις αὐτές. Ὁπως ἐπιδεικνύεται στὴν Εἰκόνα 8, ὁ σχετικὸς ἀλγόριθμος «φωτογραφίζει» τὸ εἰδωλο ἐκάστης μικροασθετώσης στὸ ἐπίπεδο τῆς ἀπὸ τέσσερις διαφορετικὲς ὅπτικὲς γωνίες καὶ ἐπεξεργάζεται συνδυαστικὰ τὶς παρατηρούμενες μεταβολὲς ἐκάστης προβολῆς. Ἡ ποσοτικὴ ἐκτίμηση τῶν χαρακτηριστικῶν ἴδιοτήτων κάθε μᾶς μικροαποτιτάνωσης ὑπολογίζεται σὲ ἀντίστοιχες σχετικὲς κανονικοποιημένες κλίμακες.

Σύμφωνα μὲ τὴν ἀνωτέρω διαδικασία, τὸ λογισμικὸ τοῦ Ἰπποκράτη-μετ ὑπολογίζει καὶ ταξινομεῖ τὸν «βαθμὸ ἐπικινδυνότητας» κάθε μᾶς μικροασθετώσης σὲ μὰ ἀπὸ τὶς πέντε ὑποδιαιρέσεις τῆς κλίμακας ἀπὸ 0% μέχρι 100% (σὲ διαβαθμίσεις τῶν 20%), καὶ παρέχει στὸν χρήστη τὶς ἀντίστοιχες ἐκτιμήσεις μὲ ἀριθμούς, καθὼς καὶ μὲ παραστατικὸ διάγραμμα, γιὰ εύκολη καὶ συγκριτικὴ ἀξιολόγηση. Ἡ γραφικὴ ἀπεικόνιση τῶν ἀποτελεσμάτων, ὅπως αὐτὴ παρουσιάζεται στὶς εἰκόνες 9 καὶ 10, παρέχει στὸν ἰατρὸ τὴν εὐχέρεια τῆς συγκριτικῆς ἐποπτείας τῶν ἀποτελεσμάτων, ὅπως ἐπιδεικνύεται στὴν πράσινη κλίμακα τῆς εἰκόνας 9 καὶ μὲ τὸ ἐρυθρὸ διάγραμ-



Εἰκόνα 8.

1. Οἱ χαρακτηριστικὲς ἴδιοτητες τῶν μικροαποτιτάνωσεων ἐπελέγησαν μετὰ ἀπὸ συγκριτικὴ ἔρευνα τῆς πλέον πρόσφατης βιβλιογραφίας ἐπὶ τοῦ θέματος αὐτοῦ.

μα τῆς εἰκόνας 10. Ἐπίσης, ἡ ἀντιστοίχηση διαφορετικῶν χρωμάτων (ἀπὸ τὸ κυανοῦν μέχρι τὸ ἐρυθρὸ) γιὰ τὴν ἐπισήμανση τῶν διαφορετικῶν ὑποδιαιρέσεων ἐπικινδυνότητας (Εἰκόνα 9), παρέχει εύκολότερη ὄπτικὴ θεώρηση τῆς συνολικῆς διαγνωστικῆς ἐτυμηγορίας.

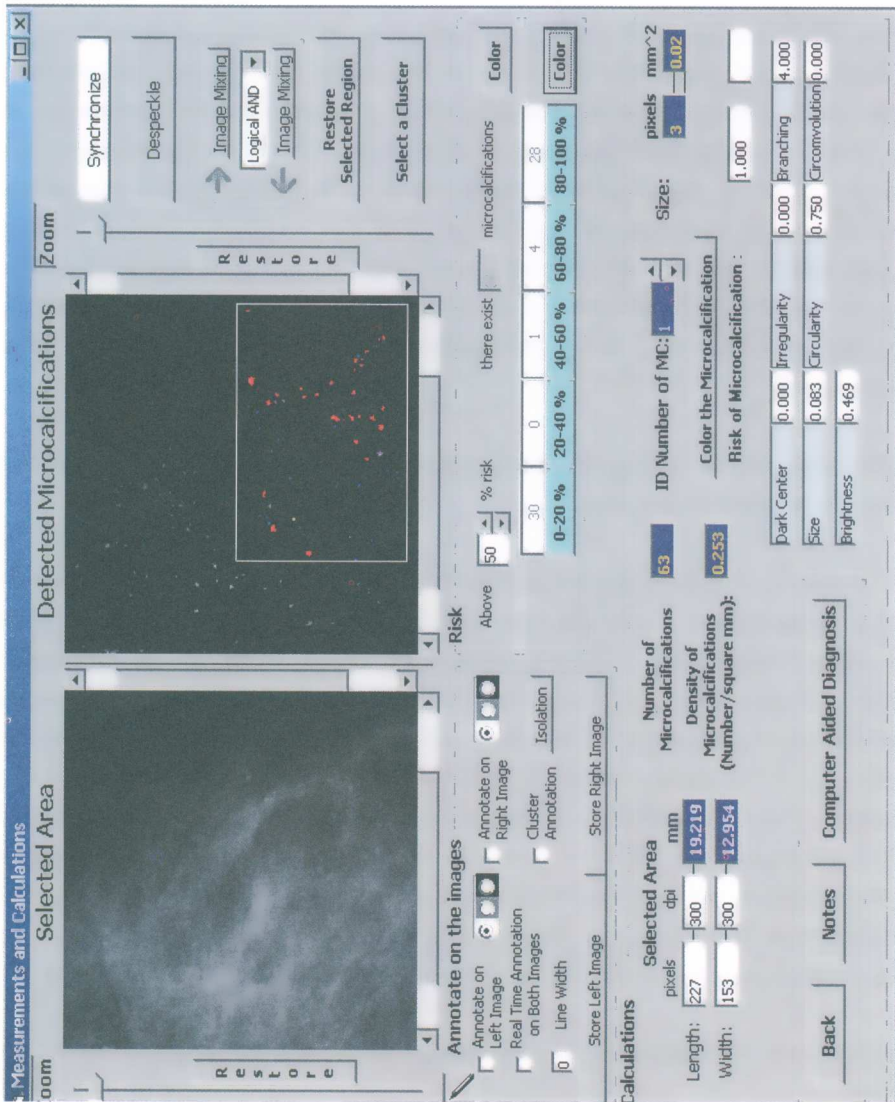
Ἄξιζει νὰ σημειωθεῖ ὅτι τὸ σύστημα Ἰπποκράτης-μστ δίνει στὸν ἵατρὸ τὴ δυνατότητα νὰ χρησιμοποιήσει τὴν ἐνδεχόμενη ἀνεπτυγμένη διαγνωστικὴ ἐμπειρία του ἢ τὴν ἔξειδικευμένη γνώση του, ἔτσι ὥστε νὰ ἐπιτευχθεῖ ἐπιτυχέστερη διαγνωστικὴ ταξινόμηση τῆς ἐπικινδυνότητας τῶν ἔχωριστῶν μικροασθεστώσεων, ἀκόμα καὶ σὲ αὐτὸ τὸ πρῶτο στάδιο. Αὐτὸ γίνεται μὲ τὴ δυνατότητα, ἡ ὁποία παρέχεται στὸν ἵατρὸ νὰ παρατηρήσει τὶς κατανομές τῶν τιμῶν τῶν ἑπτὰ προαναφερθέντων χαρακτηριστικῶν ἰδιοτήτων, νὰ ἐνημερωθεῖ γιὰ τὴν τρέχουσα τιμὴ κατωφλίου ἐπικινδυνότητας ποὺ ἐφαρμόζεται γιὰ τὴν κάθε μὰ ἀπὸ αὐτές, καὶ ἀκολούθως νὰ προσαρμόσει τὴν τιμὴ τοῦ κατωφλίου ἀξιοποιώντας ἔτσι τὶς εἰδικὲς γνώσεις του καὶ τὴν ἐμπειρικὴ πραγματογνωμοσύνη του, ὅπως ἐπιδεικνύεται στὴν Εἰκόνα 11 (δίδεται: “risk percentage (A)”).

8. Ἐκτίμηση τῆς ἐπίδρασης τῆς πολυμορφίας καὶ τῆς κατανομῆς τῆς ἐπικινδυνότητας τῶν μικροαποτιτανώσεων

Ἡ ἀμέσως ἐπόμενη φάση διάγνωσης εἶναι αὐτὴ ποὺ λαμβάνει ὑπόψη τὰ συγκεκριμένα χαρακτηριστικὰ μᾶς ἐπιλεγμένης ὄρθογώνιας περιοχῆς διερεύνησης, μέσα στὴν ὁποία ὑπάρχει κάποια ὑποπτη, τοπολογικὰ κατανεμημένη, ὅμαδα μικροασθεστώσεων. Συγκεκριμένα ἔξετάζονται καὶ ἀξιολογοῦνται ἡ «πολυμορφία» τῶν μικροασθεστώσεων τῆς περιοχῆς, καὶ ὁ ἀριθμὸς τῶν μικροασθεστώσεων μέσα στὴν περιοχή, οἱ ὁποῖες ἔχουν χαρακτηριστεῖ ὡς πολὺ ἐπικίνδυνες στὴν προηγούμενη φάση τῆς ἀξιολόγησης τῶν ἔχωριστῶν μικροαποτιτανώσεων (Εἰκόνα 10 – δεξιὸ μέρος τοῦ ἐρυθροῦ διαγράμματος). Μὲ έτση ἐμπειρικὰ κριτήρια καὶ ἔνα συνδυαστικὸ ἀλγόριθμο, τὸ λογισμικὸ τοῦ συστήματος παρέχει μὰ συνολικὴ διάγνωση ὡς πρὸς τὴν ἐπικινδυνότητα ὀλοκλήρου τῆς ἐπιλεγμένης ὄρθογώνιας περιοχῆς διερεύνησης, ἡ ὁποία καταγράφεται καὶ ἀπεικονίζεται γραφικά, ὅπως ἐπιδεικνύεται στὴν Εἰκόνα 10.

9. Ἀξιολόγηση τῆς ἐπικινδυνότητας συγκεκριμένου συμπλέγματος μικροαποτιτανώσεων

Προσφέρεται ἡ δυνατότητα στὸν ἵατρὸ νὰ ἐστιάσει τὴν διάγνωση σὲ ἓνα συγκεκριμένο ὑποπτο «σύμπλεγμα» ἢ «σμῆγος», μικροαποτιτανώσεων, τὸ ὁποῖο σημαδεύει μὲ τὴν θοήθεια «ἡλεκτρονικοῦ μολυβιοῦ». Τότε, οἱ διαγνωστικὲς διαδικασίες, οἱ



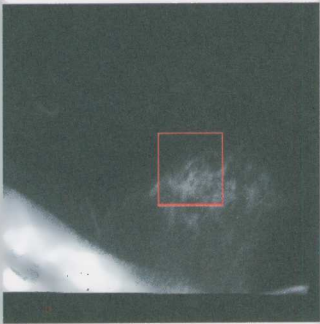
Εικόνα 9.

- □ X

Classification

Microcalcification Risk Distribution

Position and Direction of the Cluster



Clustering Parameters

Risk Percentage (A): 36.03 % **Cluster Polymorphy:** 0.853

Number of previous breast biopsies: 1 **Other Information:** [Her mother had DDS in the left]

Risk Percentage (B): [] **Risk Estimation Model:** []

Risk Percentage (C): 2.3027 % **Notes:** [Kακοήθεα Σύνορα στα επηγόνως είδη/χρόνια]

Data from the Patient's Record

Age: 61 **Age at first live birth:** 14 **Number of first-degree relatives (mother or sisters) with breast cancer:** 1

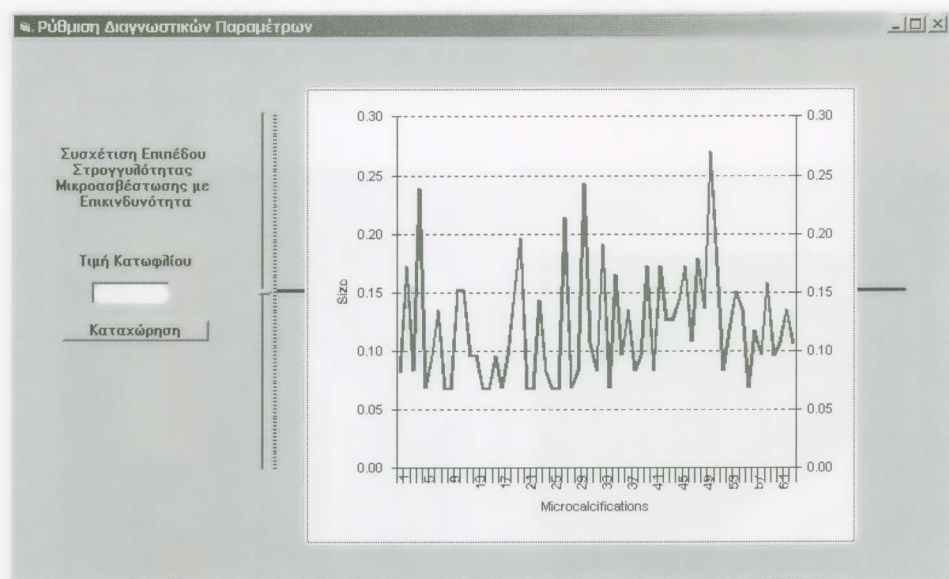
Computer Aided Diagnosis

Risk Percentage (A): **Risk Percentage (B):** **Risk Percentage (C):**

Explanation Facility

Final Risk Percentage: 96.03 %

Εικόνα 10.



Εικόνα 11.

ύπολογισμοί και τὰ διαγράμματα που περιγράφτηκαν στὰ τμήματα #4 μέχρι #8, μποροῦν νὰ ἔπαναληφθοῦν για τὸ συγκεκριμένο σμῆνος. "Ετσι, ἐπιτυγχάνεται ἔπανεκτίμηση τῆς ἐπικινδυνότητας γιὰ τὴν συγκεκριμένη καὶ σημαδεμένη περιοχή, προάγοντας τὴν διαγνωστικὴ ἀκρίβεια καὶ τὶς δυνατότητες ἐντοπισμοῦ καὶ διαγνωστικῆς ἀξιολόγησης ὑποπτῶν περιοχῶν καὶ συμπλεγμάτων.

10. Ἐπέκταση τοῦ διαγνωστικοῦ ἀποτελέσματος μὲ ἐνδεχόμενη παρέμβαση τοῦ ἰατροῦ

Στὸ σημεῖο αὐτό, παρέχεται στὸν ἰατρὸν ἡ δυνατότητα νὰ ἀξιοποιήσει τὴν ἵκανότητα που μπορεῖ νὰ ἔχει ὡς πρὸς τὴν ἐκτίμηση ἐνὸς συντελεστῆ ἐπικινδυνότητας, ὁ δποῖος νὰ ἀπορρέει ἀπὸ τὸν ὄπτικὸ προσδιορισμὸ τῆς θέσης καὶ τῆς κατεύθυνσης τοῦ ἐξεταζόμενου συμπλέγματος μικροασποτιτανώσεων. Παρεμβαίνοντας ὁ ἰατρὸς στὸ διαγνωστικὸ δελτίο που ἐπιδεικνύεται στὴν Εἰκόνα 10 (κάτω ἀριστερὰ καὶ πάνω δεξιά), μπορεῖ νὰ ἀναβαθμίσει τὸ μέχρι ἐκείνη τὴ στιγμὴ διαγνωστικὸ ἀποτέλεσμα, εἰσάγοντας στὴ συγκεκριμένη θέση τοῦ διαγνωστικοῦ δελτίου (εἰσάγεται: "risk percentage (B)") ἐναν δικό του πολλαπλασιαστὴ ἐπικινδυνότητας, ὁ δποῖος θὰ ἀντιστοιχεῖ στὴν προσωπικὴ του ἐκτίμηση τῆς αὐξημένης ἐπικινδυνότητας λόγω τῆς θέσης καὶ τῆς κατεύθυνσης τοῦ συμπλέγματος τῶν μικροασθεστώσεων.

11. Έπέκταση της διάγνωσης λόγω πληροφοριῶν που ἀφοροῦν τὴν ἡλικία, τὸ οἰκογενειακὸ ἰατρικὸ ἱστορικὸ καὶ ἄλλες ἰατρικὲς ἔξετάσεις τῆς ἀσθενοῦς

Τὸ διαγνωστικὸ ἀποτέλεσμα, τὸ ὅποιο ἔχει σχηματιστεῖ μέχρι τὸ σημεῖο αὐτό, μπορεῖ νὰ ἀναβαθμιστεῖ μὲ τὸν συνυπολογισμὸ τῶν σχετικῶν πληροφοριῶν που ἀναφέρονται στὴν ἡλικία, τὸ ἰατρικὸ ἱστορικὸ τῆς οἰκογένειας, καὶ τυχὸν ἄλλα ἰατρικὰ κλινικὰ ἢ ἐργαστηριακὰ στοιχεῖα. Παρέχεται στὸν ἰατρὸ ἡ δυνατότητα νὰ παρέμβει στὴ διαγνωστικὴ διαδικασία ἐκτίμησης τῆς ἐπικινδυνότητας καὶ νὰ ἀναβαθμίσει τὸ ἀποτέλεσμα εἰσάγοντας ἓνα ἐμπειρικὸ συντελεστὴ (Εἰκόνα 10: εἰσάγεται: “risk percentage (C)”), περίπου ὅπως στὴν περίπτωση τοῦ συνυπολογισμοῦ τῆς ἐπικινδυνότητας που μπορεῖ νὰ δρεπεῖται στὴ θέση καὶ τὴν κατεύθυνση ἐνὸς συγκεκριμένου συμπλέγματος μικροαποτιτανώσεων (6λ. #10 καὶ Εἰκόνα 10: εἰσάγεται: “risk percentage (B)”). Στὴν ἐνέργεια αὐτὴ δίδεται στὸν ἰατρὸ ἡ δυνατότητα νὰ συμβουλευθεῖ τὶς συστάσεις που παρέχονται ἀπὸ τὴν ἐφαρμογὴ τῶν σχετικῶν πληροφοριῶν περὶ ἡλικίας καὶ ἰατρικοῦ ἱστορικοῦ τῆς οἰκογένειας στὸ μαθηματικὸ «μοντέλο Gail» [9, 10], τὸ ὅποιο ἔχει προγραμματισθεῖ καὶ ἐνσωματωθεῖ στὸν Ἰπποκράτη-μστ γιὰ τὴν περίπτωση αὐτὴ (Εἰκόνα 10: δίδεται/εἰσάγεται: “risk percentage (C)”).

12. Τελικὴ διάγνωση, καταγραφὴ καὶ ἀποθήκευση τῶν ἀποτελεσμάτων καὶ τῶν ἰατρικῶν παρατηρήσεων

Τὰ ἐνδιάμεσα διαγνωστικὰ ἀποτελέσματα, καθὼς καὶ τὸ τελικὸ διαγνωστικὸ ἀποτέλεσμα τοῦ συστήματος «Ἰπποκράτης-μστ» παρέχονται στὸν ἰατρὸ συμβουλευτικὰ καὶ μόνο. Πρέπει νὰ γίνει ξεκάθαρο ὅτι ὁ χρήστης ἔχει τὸν οὐσιαστικὸ ἔλεγχο τῆς διαγνωστικῆς διαδικασίας, καὶ ἔχει τὴν ἀποκλειστικὴ ἐπιλογὴ καὶ εὐθύνη τῆς χρησιμοποίησης τῶν ἀποτελεσμάτων τοῦ συστήματος, ὥστε νὰ δύναται νὰ ἐκμεταλλευθεῖ στὸν μέγιστο δυνατὸ βαθμὸ τὰ δυνατὰ ὀφέλη ἀπὸ τὰ ὑπολογιστικὰ ἀποτελέσματα τοῦ συστήματος. “Οταν καὶ ἐὰν ὁ ἰατρὸς θελήσει νὰ παρεκκλίνει ἀπὸ τὴν αὐτόματη διάγνωση που τοῦ παρέχει τὸ σύστημα ὥστε νὰ εἰσάγει τὶς προσωπικές του ἐκτιμήσεις που ἀπορρέουν ἀπὸ τὴν ἐμπειρία, τὴν εἰδίκότητα καὶ τὴν πραγματογνωμοσύνη του, τότε ἀναλαμβάνει καὶ τὴν σχετικὴ εὐθύνη αὐτῆς τῆς παρέμβασης. Σὲ κάθε περίπτωση ἡ τελικὴ διάγνωση καὶ ἡ εὐθύνη γιὰ τὶς περαιτέρω ἰατρικὲς ἐνέργειες, ἀποτελοῦν ἀναφαίρετο δικαίωμα, ὑποχρέωση καὶ εὐθύνη τοῦ ἰατροῦ.

Τὸ τελικὸ διαγνωστικὸ ἀποτέλεσμα, μὲ τὸ ὅποιο τὸ σύστημα συμβουλεύει τὸν ἰατρὸ γιὰ τὴν ἐπικινδυνότητα τῆς συγκεκριμένης περιοχῆς τῆς μαστογραφίας, παρέχεται στὸν ἰατρὸ ὡς “final risk percentage” («τελικὸ ποσοστό ἐπικινδυνότητας»)

στὸ κάτω μέρος τῆς εἰκόνας 10. Αὐτὸ τὸ τελικὸ ποσοστὸ ἐπικινδυνότητας ἐμφανίζεται καὶ παραστατικὰ μὲ μὰ λευκὴ κάθετη γραμμὴ ἐπάνω σὲ ἓνα συνεχὲς χρωματικὸ διάγραμμα ἀπὸ τὸ μπλέ (καλοήθεια) πρὸς τὸ ἔρυθρὸ (κακοήθεια) στὸ κάτω μέρος τῆς Εἰκόνας 10. Ὅπως εἶναι ἐμφανές, ἡ χρωματικὴ κατανομὴ τῆς ἐπικινδυνότητας διαιρεῖται σὲ τέσσερις ζῶνες: (i) 0%-35% (καλοήθεια μὲ βεβαίότητα, ἀποτρέπεται ἡ βιοψία), (ii) 35%-55% (καλοήθεια μὲ ἀμφιβολίες, παραπέμπεται γιὰ βιοψία, ἴδιαιτέρως ἢν συμπαροματοῦν καὶ ἄλλες ἐνοχοποιητικὲς ἐνδείξεις), (iii) 55%-75% (κακοήθεια μὲ ἀμφιβολίες, παραπέμπεται γιὰ βιοψία), (iv) 75%-100% (κακοήθεια μὲ βεβαίότητα, παραπέμπεται γιὰ βιοψία).

Στὴ συνέχεια, ὁ ἰατρὸς μπορεῖ νὰ καταγράψει καὶ νὰ ἀποθηκεύσει, μαζὶ μὲ τὶς ἀντίστοιχες ἐπεξεργασμένες καὶ σημαδεμένες εἰκόνες, τὶς σχετικὲς διαγνωστικὲς παρατηρήσεις του στὸ εἰδικὸ «σημειωματάριο», τὸ δόποιο εἶναι στὴ διάθεσή του. Αὐτὸ τὸ δελτίο τῶν σημειώσεων καὶ σχετικῶν εἰκόνων, μαζὶ μὲ τὴν ἡμερολογιακὴ ἀναφορὰ καὶ τὸ ὄνομα τοῦ ἰατροῦ, ἐντάσσεται καὶ ἀποθηκεύεται αὐτομάτως στὸ Ψηφιακὸ ἀρχεῖο τοῦ ἔξεταζόμενου ἀτόμου, ὅπως ἐπιδεικνύεται στὴν Εἰκόνα 12. Τὸ ἰατρικὸ ἀρχεῖο τοῦ ἀτόμου εἶναι ἀμέσως καὶ μὲ εύκολία διαθέσιμο στὴν παρακολούθηση καὶ τὴν ἐπόμενη ἰατρικὴ διαγνωστικὴ ἔξέταση.

13. Ἐργαστηριακὴ ἀξιολόγηση τοῦ συστήματος

Τὸ διαγνωστικὸ σύστημα Ἰπποκράτης-μστ, ὅπως ἔχει ἀναπτυχθεὶ μέχρι τώρα, ὑποβλήθηκε σὲ μὰ σειρὰ ἐργαστηριακῶν ἀξιολογήσεων. Τὰ ἀποτελέσματα τῶν ἐργαστηριακῶν δοκιμῶν καὶ τῆς στατιστικῆς ἀξιολόγησης μέχρι σήμερα ἔχουν διατίθεσται σὲ ποικιλία μαστογραφῶν, ποὺ καλύπτουν μὰ εὐρεία ποικιλία περιπτώσεων, καὶ ποὺ ὅλες συνοδεύονται ἀπὸ ἐνδεικνυόμενες βιοψίες σὲ συγκεκριμένες ὑποπτεῖς περιοχὲς τῆς μαστογραφίας, καὶ ἀπὸ τὰ σχετικὰ σχόλια καὶ σημειώσεις τῶν εἰδικῶν ἰατρῶν.

Τὸ σύνολο τῶν δειγμάτων τῆς ἐργαστηριακῆς ἀξιολόγησης περιλαμβάνει:

71 μαστογραφίες μὲ μικροαποτιτανώσεις ποὺ περιέχουν 74 συμπλέγματα μικροασθετώσεων μὲ ἀντίστοιχες βιοψίες. Στὸ σύνολο αὐτὸ ὑπάρχουν 22 κακοήθεις περιπτώσεις, 47 καλοήθεις περιπτώσεις καὶ 5 περιπτώσεις ἀτυπίας.

Γιὰ τὴν κατηγοριοποίηση τῶν μικροασθετώσεων ἀπὸ τὸ σύστημα, χρησιμοποιήθηκαν οἱ τέσσερις ζῶνες ἐπικινδυνότητας, οἱ ὅποιες σημειώνονται στὸ χρωματικὸ διάγραμμα ποὺ ἐπιδεικνύεται στὸ κάτω μέρος τῆς Εἰκόνας 10, καὶ περιγράφονται στὸ κείμενο τοῦ προηγούμενου τμήματος #12:

- ἡ ζῶνη ἐπικινδυνότητας ἀπὸ 0% ἕως 35% (σαφὴς καλοήθεια: ἀποτρέπεται ἡ βιοψία)

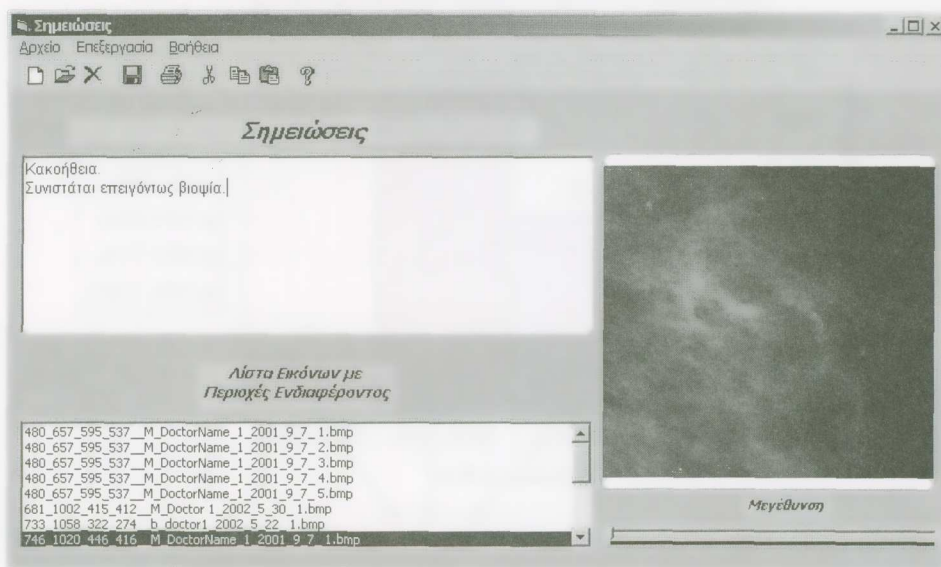
- ή ζώνη έπικινδυνότητας άπό 35% έως 55% (καλοήθεια με άφιβολίες: συνιστάται βιοψία)
- ή ζώνη έπικινδυνότητας άπό 55% έως 75% (κακοήθεια με άμφιβολίες: συνιστάται βιοψία)
- ή ζώνη έπικινδυνότητας άπό 75% έως 100% (σαφής κακοήθεια: συνιστάται έπειγόντως βιοψία)

Τὰ ἀποτελέσματα τῶν ἔργαστηριακῶν δοκιμῶν δίδονται μὲ διαγράμματα στὶς Εἰκόνες 13(α) καὶ 13(6), ὅστε νὰ διευκολύνουν τὴν περιεκτικὴ ἀξιολόγηση τοῦ συστήματος.

Ἡ συμπεριφορὰ τοῦ συστήματος στὶς 5 περιπτώσεις ἀτυπίας ἥταν προτροπὴ γιὰ βιοψία, συμβαδίζοντας μὲ τὴ γνώμη τῶν εἰδικῶν ἰατρῶν.

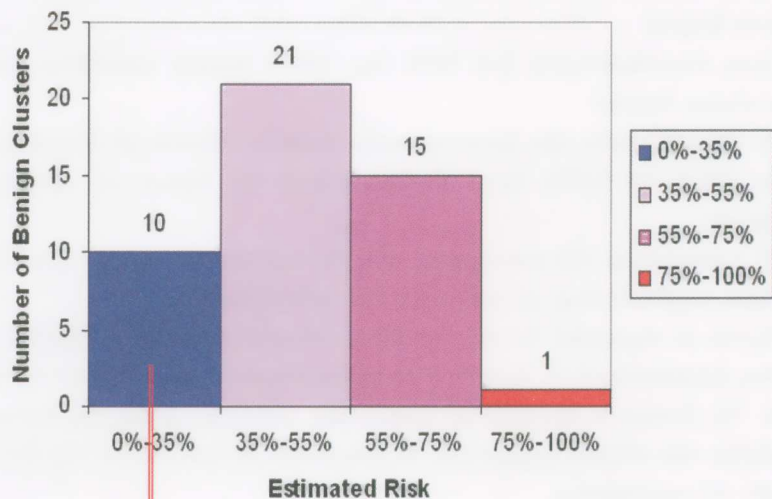
Πρέπει νὰ σημειωθεῖ ὅτι τὰ παραπάνω ἀποτελέσματα ἔχουν ἔξαχθεῖ χρησιμοποιώντας ἀποκλειστικὰ τὶς δυνατότητες τοῦ συστήματος νὰ ἐκπιμήσει τὴν ἔπικινδυνότητα τῆς ἑκάστοτε ἐπιλεγμένης ὄρθογώνιας περιοχῆς, χωρὶς τὶς ἐπιτρεπόμενες παρεμβολές τῶν εἰδικῶν ἰατρῶν ποὺ θὰ μποροῦσαν νὰ διελιώσουν τὴν διαγνωστικὴ ἀπόδοση τοῦ συστήματος.

Πρέπει νὰ παρατηρηθεῖ ἐδῶ, πώς, ἐνδεχομένως, γιὰ ἓνα μικρὸ ποσοστὸ τῶν περιπτώσεων ποὺ χρησιμοποιήθηκαν, τὸ ἀποτέλεσμα τῆς βιοψίας νὰ μὴν σχετίζεται



Εἰκόνα 12.

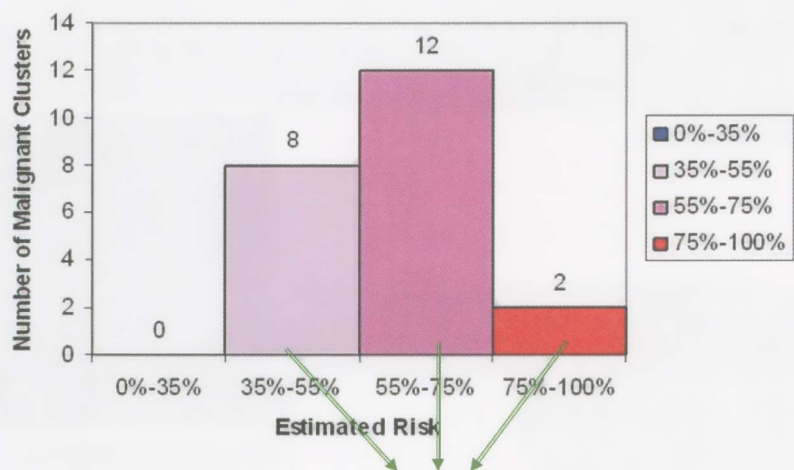
Συμπεριφορά του συστήματος στις 47 καλοήθεις περιπτώσεις



Αποτροπή 10 από τις 47 άσκοπες βιοψίες

Εικόνα 13(α).

Συμπεριφορά του συστήματος στις 22 κακοήθεις περιπτώσεις



Επιπυχής Προτροπή για βιοψία όλων των κακοήθων περιπτώσεων

Εικόνα 13(β)

άμεσα μὲ τὴν παρουσία μικροαποτιτανώσεων στὴν ἐξεταζόμενη περιοχή. Παρόμοιες περιπτώσεις δειγμάτων ἐργαστηριακῶν ἀξιολογήσεων, ὅπου ὁ ἰατρὸς ὀδηγεῖται σὲ ἐντολὴ βιοψίας ἀπὸ ἐνοχοποιητικὲς ἐνδείξεις ἄλλες ἀπὸ τὴν ὑπαρξη ὑπόπτων μικροαποτιτανώσεων στὴν ἐξεταζόμενη περιοχὴ τῆς μαστογραφίας, μπορεῖ νὰ ὀδηγήσουν σὲ ἀπόκλιση τὴν ἀξιολόγηση τῆς ἀπόδοσης τοῦ συστήματος.

Τέτοιες περιπτώσεις, καὶ ἄλλες παρόμοιες, δείχνουν παραστατικὰ τοὺς περιορισμοὺς τοῦ συστήματος καὶ τὰ ἀντίστοιχα πλεονεκτήματα τοῦ ἀνθρώπινου παράγοντα. Γιὰ παράδειγμα, τὸ σύστημα περιορίζεται ἀπὸ τὸ νὰ δύναται νὰ συγχρίνει καὶ νὰ ἀξιολογήσει συνυπολογίζοντας τὶς διαγνωστικὲς ἐκτιμήσεις ποὺ ἀπορρέουν ἀπὸ τὴν ἐξεταση τῆς εἰκόνας τῆς συγκεκριμένης περιοχῆς ποὺ παρέχεται καὶ στὶς δύο ὅψεις τῆς ἀκτινογραφικῆς λήψης τῆς μαστογραφίας (τὴν «πλαγία» καὶ τὴν «κάθετο»). Ὁπως εἶναι ἀναμενόμενο, τὸ σύστημα μειονεκτεῖ ἔναντι τῶν ἀνθρωπίνων ἀντιληπτικῶν καὶ συνδυαστικῶν ἴκανοτήτων τοῦ ἰατροῦ. Ἡ χρησιμότητα τοῦ συστήματος περιορίζεται στὸ νὰ παρέχει ἐργαλεῖα διαχείρισης καὶ λεπτομεροῦς ἐξετασης τῆς ἀκτινογραφίας, καὶ στὸ νὰ συμβουλεύει τὸν ἰατρὸ μὲ διαγνωστικὲς ἐκτιμήσεις, τὶς ὅποιες καὶ δικαιολογεῖ ἐπαρκῶς.

14. Συμπεράσματα καὶ γενικὲς παρατηρήσεις

Ἄπὸ τὴν περιγραφὴ τοῦ συστήματος καὶ ἀπὸ τὴν ἐργαστηριακὴ ἀξιολόγηση προκύπτει ὅτι τὸ παρὸν σύστημα δύναται νὰ συμβάλει στὴν καλύτερη πρώιμη διάγνωση τοῦ καρκίνου τοῦ μαστοῦ, ἡ ὅποια μπορεῖ νὰ προκύψῃ ἀπὸ τὴν ἀνίγνευση μικροαποτιτανώσεων σὲ μαστογραφίες καὶ στὴν διαγνωστικὴ ἀξιολόγησή τους. Παρέχει ἐργαλεῖα ἡλεκτρονικῆς καὶ ψηφιακῆς διαχείρισης καὶ ἐξετασης τοῦ συγχράσκαθροιστου καὶ συγκεχυμένου ἵστολογικοῦ περιβάλλοντος τῶν μικροασθεστώσεων, ἵσχυροποιώντας ἔτσι τὴν ὀπτικὴ ἰατρικὴ ἐξεταση καὶ ἀξιοποιώντας τὴν γνώση καὶ τὶς σχετικὲς ἐμπειρίες τοῦ ἰατροῦ. Ἐπὶ πλέον, τὸ σύστημα φαίνεται ὅτι μπορεῖ νὰ συμβάλει στὴν καλύτερη διάγνωση, παρέχοντας στὸν ἰατρὸ ἴδιατερα χρήσιμες καὶ κρίσιμες διαγνωστικὲς πληροφορίες καὶ ἐπεξηγήσεις.

Τὰ ἀποτελέσματα τῶν ἐργαστηριακῶν δοκιμῶν καταδεικνύουν ὅτι τὸ σύστημα παρουσιάζει πολὺ μεγάλη εὐαισθησία, ἀλλὰ ὅτι περιορίζεται καὶ ἀπὸ σχετικὰ χαμηλὴ ἐιδικότητα. Μὲ σκοπὸ νὰ δελτιώσουμε τὴν ἀπόδοση τοῦ συστήματος ὥσον ἀφορᾶ στὴν εἰδικότητα, προγραμματίζουμε τὴν περαιτέρω διερεύνηση καὶ δελτίωση τῶν σχετικῶν μαθηματικῶν ἀλγορίθμων ποὺ χρησιμοποιοῦνται στὴν ἐπεξεργασία τῶν δεδομένων, τὸν ὄρισμὸ τῶν εἰδικῶν κριτηρίων καὶ τὴν ταξινόμηση τῶν διαγνωστικῶν ἀποτελεσμάτων.

Στὸν ἐρευνητικὸ προγραμματισμό μας, σκοπεύουμε, ἐπίσης, νὰ περιλάβουμε τὴν

διερεύνηση τῆς δυνατότητας ἐντοπισμοῦ καὶ ταξινόμησης καὶ ἄλλων μαστογραφικῶν εύρημάτων, ὅπως π.χ. τὸν ἐντοπισμὸν «μαζῶν». Ιδιαίτερης σημασίας εἶναι καὶ ἡ δυνατότητα σύγκρισης καὶ συνδυαστικῆς ἀξιολόγησης τῶν διαγνωστικῶν δεδομένων καὶ ἀποτελεσμάτων, τὰ ὅποια ἀπορρέουν ἀπὸ τὴν διαγνωστικὴν ἐπεξεργασία τῆς μαστογραφίας ἀπὸ τὸν Ἰπποκράτη-μστ, μὲ δεδομένα ἀπὸ ἄλλες τεχνικὲς ιατρικῆς ἀπεικόνισης (π.χ. εἰκόνες ύπερήγων) γιὰ τὸν ἴδιο ἀσθενή, καὶ ἀπὸ συναρτώμενες διαγνωστικὲς μεθόδους.

Εἶναι σαφὲς ὅτι ἡ μεθοδολογία τοῦ Ἰπποκράτη-μστ καὶ οἱ ἀλγόριθμοι ἐπεξεργασίας τῶν δεδομένων εἶναι ἐφαρμόσιμα καὶ σὲ ἄλλες ιατρικὲς ἀπεικονιστικὲς ἀναλύσεις.

Λόγω τοῦ ίδιαίτερα χαμηλοῦ κόστους ὑλοποίησης καὶ τῆς εὔκολης χρησιμοποίησης, οἱ προοπτικὲς ἐφαρμογῆς τοῦ προτεινόμενου ψηφιακοῦ συστήματος περιλαμβάνουν τὴν μαζικὴν πληθυσμακὴν ἔξέταση, ὑποστροφίζομενη ἀπὸ τὴν διάθεση τοῦ δικτύου τηλεϊατρικῆς. Ἡ μαστογραφικὴ παρακολούθηση τῶν γυναικῶν σὲ εὐρεία κλίμακα, μὲ σκοπὸν τὴν παροχὴν προληπτικῆς διάγνωσης τοῦ καρκίνου τοῦ μαστοῦ, εἶναι ὑψίστης οἰκονομικῆς καὶ κοινωνικῆς σημασίας.

Ἐπίσης, εἶναι μεγάλης σημασίας γιὰ τὴν ιατρικὴν ἐκπαίδευση ἡ εἰδικὴ σχεδίαση τοῦ συστήματος «Ἰπποκράτης-μστ» καὶ ἡ ἐφαρμογὴ του ὡς ἐκπαίδευτικοῦ ἐργαλείου τῶν φοιτητῶν τῆς Ιατρικῆς Σχολῆς, καὶ τῶν μετεκπαίδευόμενων ιατρῶν.

Προβλέπεται ὅτι στὸ ἐγγὺς μέλλον θὰ ἀκολουθήσει ἡ πιλοτικὴ ἐφαρμογὴ καὶ ἀξιολόγηση τοῦ Ἰπποκράτη-μστ σὲ νοσοκομεῖα, κλινικὲς καὶ διαγνωστικά κέντρα.

Εὐχαριστίες

Εὐχαριστοῦμε θερμὰ τοὺς συνεργάτες μας ιατροὺς κ. Κωνσταντīνο Κουφόπουλο καὶ κ. Σταμάτη Βασιλάρο, τῶν ὅποιων οἱ ιατρικὲς συμβουλές, ἡ διάθεση μαστογραφικῶν ἀπεικονίσεων μὲ ἀντίστοιχες θιοψίες καὶ ἡ διοήθεια στὴν ἐργαστηριακὴν ἀξιολόγηση τοῦ συστήματος, ὑπῆρξε ἐξαιρετικὰ πολύτιμη.

SUMMARY

A suggested digital system for computer aided early detection and classification of breast cancer microcalcifications

Radiologists consider breast microcalcifications as a very useful index of malignancy, which helps in the early detection of breast cancer. The micro-

calcifications are deposits of calcium salts, i.e. galactic, tricalcium phosphates, which are either benign (intra-galactophoric or intra-tissular) or malignant. They appear usually in the form of clusters and sometimes they can be easily detected on mammographic films due to their high clustering density. However, the existence of microcalcifications in breast tissue is not always a clear evidence of malignancy. Long-standing research efforts have been made to classify breast microcalcifications as benign or malignant, based on computer-aided analysis of their structural and photometric characteristics, appearing in mammographic images. We present an approach in the classification of microcalcifications with a system that is "physician-oriented", in that it is adaptive to the physician's prior knowledge and experience through interactive feedback. It is based on detailed analysis and evaluation of related features of individual microcalcifications and of formed clusters. In addition, the significance of the position and direction of a cluster, as well as information related to the patient's and her family's medical history may be taken into account in the final estimation of a malignancy "risk-index". The system-diagnosis includes several facilities: a) patient archiving, b) use of image analysis tools for image examination and management, c) detection of microcalcifications, d) classification of microcalcifications in selected areas, and e) diagnostic advice to the radiologist about the estimated risk-index, together with related justification of the step-by-step procedures. Laboratory evaluation has shown encouraging performance of the proposed diagnostic system.

Αναφορές

1. National Cancer Institute, URL: <http://www.nci.nih.gov>
2. American Cancer Society, URL: <http://www3.cancer.org>
3. National Alliance of Breast Cancer Organizations, URL: <http://www.nabco.org>
4. Fondrinier E, Lorimier G, Guerin-Boblet V, Bertrand AF, Mayras C, Dauver N., Breast microcalcifications: multivariate analysis of radiologic and clinical factors for carcinoma, World J Surg. 2002 Mar;26(3):290-6.
5. Lee S, Lo C, Wang C, Chung P, Chang C, Yang C, Hsu P. A computer-aided design mammography screening system for detection and classification of microcalcifications. Int J Med Inf. 2000 Oct;60(1):29-57.
6. Gurcan MN, Chan HP, Sahiner B, Hadjiiski L, Petrick N, Helvie MA.,

- Optimal neural network architecture selection: improvement in computerized detection of microcalcifications, Acad Radiol. 2002 Apr;9(4):420-9.
- 7. Karssemeijer N 1993 Adaptive noise equalization and recognition of microcalcification clusters in mammograms, Int.J.Patt.Rec.&Im.Analysis 7.
 - 8. Lorenz H, Richter G M, Capaccioli M and Longo G, 1993, Adaptive filtering in astronomical image processing. I. Basic considerations and examples, Astron. Astrophys. 277, 321
 - 9. Gail MH, Brinton LA, Byar DP, Corle DK, Green SB, Schairer C, Mulvihill JJ., Projecting individualized probabilities of developing breast cancer for white females who are being examined annually. J Natl Cancer Inst. 1989 Dec 20;81(24):1879-86.
 - 10. Gail MH, Costantino JP., Validating and improving models for projecting the absolute risk of breast cancer., J Natl Cancer Inst. 2001 Mar 7;93(5):334-5
 - 11. G. Spyrou, P. Pavlou, A. Harassis, I. Bellas, P. Ligomenides, "Detection of Microcalcifications for Early Diagnosis of Breast Cancer", Proceedings of the 7th Hellenic Conference on Informatics, University of Ioannina Press, p. V104, August 26-28, 1999, Ioannina, Greece
 - 12. G. M. Spyrou, M. G. Nikolaou, K. N. Koufopoulos and P. A. Ligomenides, "A computer based model to assist in improving early diagnosis of breast cancer", 7th World Congress on Advances in Oncology and 5th International Symposium on Molecular Medicine, October 10-12, 2002, Creta Maris Hotel, Hersonissos, Crete, Greece
 - 13. G. M. Spyrou, M. G. Nikolaou, M. Koussaris, A. Tsibaris, S. D. Vassilaros and P. A. Ligomenides, "A System for Computer Aided Early Diagnosis of Breast Cancer based on Microcalcifications Analysis", 5th European Conference on Systems Science, 16-19 October 2002, Creta Maris Hotel, Crete, Greece, *full paper published in Res-Systemica, Volume N°2, Special Issue: Proceedings of the fifth European Systems Science Congress, October 2002, Crete*